

(株) 間組 技術研究所 正員 三原 正哉

## 1. はじめに

盛土や埋戻し土などの締め固めた土の静的な強度特性、変形性、透水性などは、締固め含水比や締固めエネルギーによって異なる。また、砂の液状化強度は、同一密度の供試体でも、供試体の作成方法によって異なる。これらのことより、締め固めた砂の液状化強度は、密度以外に、締固め含水比や締固めエネルギーによっても変化することも考えられる。このような観点から、締め固めた砂の液状化強度に対する締固め含水比、締固めエネルギーの影響を調べるために、2種類の砂に対して、振動三軸試験機を用いて液状化試験を実施した。

## 2. 試験材料と試験内容

試験材料には2種類の砂（C材、D材と呼ぶ）を用いた。その物理的性質を表-1に、粒度分布を図-1に示す。締固め含水比は、C材では4種類、D材では3種類とした。締固めエネルギーは、C材、D材とも、 $5.6 \times 10^4$ （=E<sub>S5</sub>と表示）、 $3.4 \times 10^4$ （=E<sub>S15</sub>と表示）m·kgf/m<sup>3</sup>の2種類とした。締固め含水比および締固めエネルギーの1つの組合せに対し、液状化試験とCU試験を実施した。試験条件の一覧を表-2に示す。締固めエネルギーがE<sub>S5</sub>の供試体は、突固め試験JIS A 1210の第1方法で突き固めたものであり、E<sub>S15</sub>の供試体は、各引当りの突き固め回数を15回としたものである。突固めにより作成した供試体は、直徑5cm、高さ10cmに成形した。供試体は、CO<sub>2</sub>を圧入した後、脱気水を1～3昼夜通水し飽和させた。また、2～4kgf/cm<sup>2</sup>の背圧を作用させた。圧密圧は、すべて1kgf/cm<sup>2</sup>であり等方圧密である。B値は、95%以上になるよう努めたが、C材のタイプC4、C8では、95%まで上がらないものがあり、最終で88%であった。試験に用いた振動三軸試験機は油圧サーボ式のものであり、セル内に設けたロードセルの出力に対しフィードバック機能を有している。液状化試験の繰返し振動数は0.1Hzとし、CU試験の載荷速度は0.125mm/minとした。

## 3. 試験結果

図-2(a)、図-3(a)にタイプC1～C4のCU試験、液状化試験の結果を、図-2(b)、図-3(b)にタイプD4～D6のCU試験、液状化試験の結果を示す。また、図-4(a)、(b)に、C材およびD材に対する締固め含水比( $\bar{w}$ )と圧密後乾燥密度( $\bar{\rho}_d$ )、内部摩擦角(Φ<sub>0</sub>)、液状化強度( $R'_0$ )の関係を示す。内部摩擦角(Φ<sub>0</sub>)はCU試験におけるΦ<sub>0'</sub>の最大値を用いて、 $\Phi_0 = \sin^{-1} \left( \frac{\Phi_0' - \Phi_3'}{\Phi_0' + \Phi_3'} \right)$ より求めたものである。また、液状化強度( $R'_0$ )は、20回の繰返して両振幅軸ひずみ5%を生じさせ時の繰返せん断応力比( $R'_0/200$ )を表わしている。

図-4において、締固めエネルギーの違いに着目すると、C材およびD材とも、締固めエネルギーが大きいE<sub>S5</sub>の場合の方が、E<sub>S15</sub>の場合に比較して、Φ<sub>0</sub>、R'\_0とも大きくなる傾向がある。ただし、C材のタイプC2とC6の関連においては、Φ<sub>0</sub>はC2の方が大きいが、Φ<sub>0</sub>、R'\_0ともほとんど変化していない。また、C材のタイプC1、C4、C7のΦ<sub>0</sub>はかなり近い値であるが、それらのR'\_0は異なり、締固めエネルギーが小さいにもかかわらず、最適含水比付近で締め固めたC7のR'\_0が最も大きい。

表-1 材料の物理的性質

項目	C材	D材
土粒子の比重 G <sub>s</sub>	2.635	2.625
平均粒径 D <sub>50</sub> (mm)	0.15	0.32 ~0.33
均等係数 U <sub>c</sub>	20.	2.9~3.4
細粒分(74.4mm以下)含水率 (%)	11.2 ~16.2	5.0 ~7.2
最大乾燥密度 $\bar{\rho}_{dm}$	1.372	1.550
最小乾燥密度 $\bar{\rho}_{dm}$	1.015	1.209

\* JSF T26-1981による

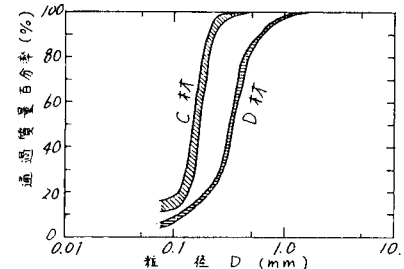
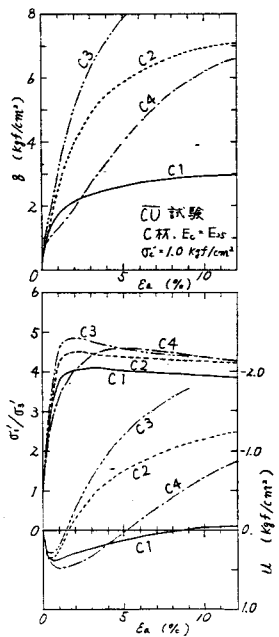


図-1 粒度分布

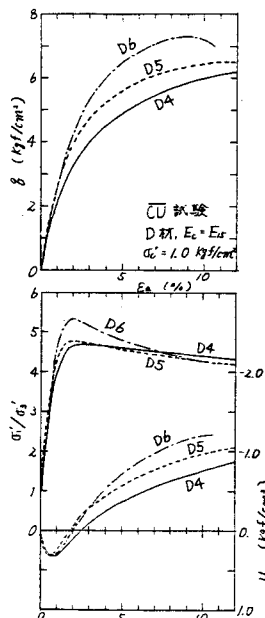
表-2 試験条件の一覧

タブ	材種	締固めエネルギー E <sub>S</sub> (m·kgf/m <sup>3</sup> )	締固め含水比 $\bar{w}$ (%)	圧密後乾燥密度 $\bar{\rho}_d$ (kg/m <sup>3</sup> )	CU試験回数	CU試験
C	C1	$5.6 \times 10^4$	10.6	1.462	3	1
	C2		16.1	1.512	2	1
	C3		20.1	1.575	3	1
	C4		26.1	1.471	3	1
C材	C5	$3.4 \times 10^4$	11.0	1.363	3	1
	C6		15.5	1.428	5	1
	C7		20.7	1.480	4	1
	C8		26.6	1.456	3	1
D	D1	$5.6 \times 10^4$	10.2	1.393	4	1
	D2		15.1	1.512	5	1
	D3		17.2	1.476	3	1
	D4		20.1	1.313	4	1
D材	D5	$3.4 \times 10^4$	14.8	1.433	3	1
	D6		17.3	1.332	3	1

\*  $\bar{w}$ : 平均値



(a) C 材 (E<sub>25</sub>)



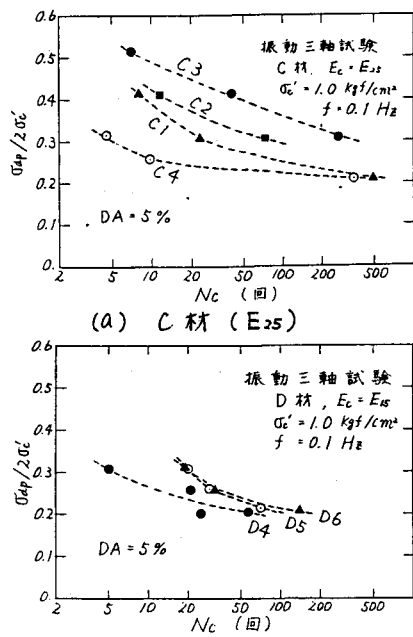
(b) D 材 (E<sub>15</sub>)

図-2 CU試験の結果

また、図-4において、締固め含水比の違いに着目すると、乾燥密度が最も大きくなる最適含水比付近で締め固めた供試体が、材料および締固めエネルギーにかかわらず、同一の締固めエネルギーによる場合には、最も大きな  $R_{20}'$  を示すように思われる。今回の試験では、締固め含水比 ( $\bar{w}$ ) と圧密後乾燥密度 ( $\bar{\rho}_d$ ) の関係を示す曲線と、締固め含水比 ( $\bar{w}$ ) と液状化強度 ( $R_{20}'$ ) の関係を示す曲線は、相似形とは言えず、密度以外に、締固め含水比によっても液状化強度が変化することを示していると思われる。特に、C 材の湿潤側で締め固めたタイア  $C_4$ ,  $C_8$  は、密度の変化に比べて液状化強度の低下が著しい。図-2(a)に示すタイア  $C_4$  の CU 試験の結果では、軸ひずみが  $1 \sim 3\%$  付近において  $C_1 \sim C_3$  よりも大差の正の間隙水圧が測定されており、これが  $C_4$  の液状化強度の低下に繋がっていると思われる。

#### 4. おわりに

今回の試験より、締め固めた砂の液状化強度は、密度以外に、締固め含水比や締固めエネルギーによっても影響されることがわかった。したがって、締め固めた砂の液状化強度を求める試験では、密度以外に、締固め含水比や締固めエネルギーにも十分配慮する必要がある。



(a) C 材 (E<sub>25</sub>)

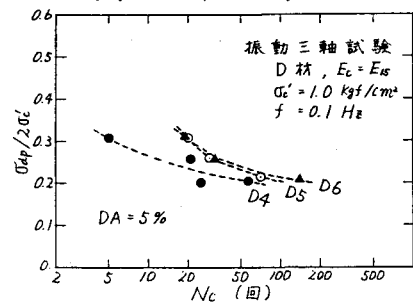
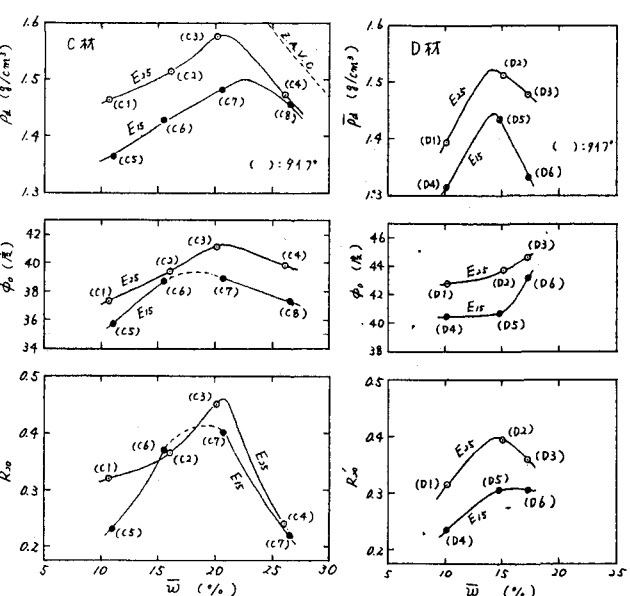


図-3 液状化試験の結果



(a) C 材

(b) D 材

図-4  $\bar{w} \sim \bar{\rho}_d$ ,  $\bar{\rho}_d$ ,  $R_{20}'$  の関係